

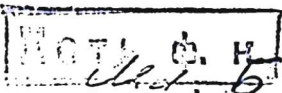
YAl_x
Chucabbi Y-Al

AB₂ | $A = Sc, Y, La, Ce, Pr, Nd, Sm, Gd, Er$ 1959
| (Lu, Yb)
| VII 2409

B. = $Lu, Rh, Os, Yb, PE, Re, Al$.
| (species. cusp-paj)

Compton V.B., Matherias B.T.,
Acta crystallogr.,

1959, 12, n9, 651-654



PX, 1960, 21202

Al₅Y₂ (Tm)

1959

Сабуров Б.М. Переходы В.Р.,

Чикасов В.А.,

Ил. изображ. дисс., 1959, 4, №

1461-1462

Р. А., 1959, 27156

Р. А.

AB₂ / A = FeMn with Y; 1960
B = Al, Mn, Fe, Co (with Ni)
(Kruscic. et al - pa).

Wernick Y.H., Leller S.

Trans. Metallurg. Soc. I.M.E.
1950, 218, n. 5, 866.

PX, 1962, 65 144

III

Nd. Sh₂, Nd. Sh₄, Y Sh₄, Gd₂ Fe₁₇ 1961
(specie. circ-pa)

Okrugnaya reka R. U., Tselinograd-
skii ob. S. L.

Okrugnaya reka R. U.,
1961, G, N1, 118.

P.M., 1961, 8 № 271.

111

VIII-1820a

VIII 1820

1961

Y₂Al₅O₁₂; YAl₅; YAl₃

cr. str.

Ludin Ch. E., Jr., Kloodt D. T.

Trans. Amer. Soc. Metals. Vol. 54." Metals

Park, Ohio, 1961, 168-175. Discuss, 757-758.

Phase equilibria in the yttrium-aluminum system.

px, 1963, 4 5353

δ , η , θ , α

~~HES bOee~~

Y_{Al_2} , Y_{Ta_3} , Y_{R} , Y_{Fe_3} , Y_{Pb_3} , Y_{Al_3}
(Kručev. et al. - pa) VIII 3913

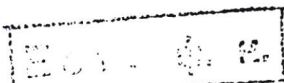
Bruzzzone G. Ferro R. A. 1963

Letti Accad. naz. Lincei.

Cl. Sci. fis., mat. e natur.

1962/1963), 33, n. 6, 465-471

PX, 1964, 15 B 231

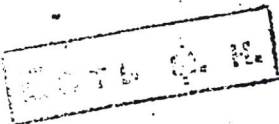


MI

$\text{Y}_3\text{Al}_5\text{O}_12$, Y-Al-Treppen. exp - pol
1963

Dagerhamn. T.

Acta chem. Scand.,
1963, 17, 21, 267.



U.S.

PX, 1963, 235207

1963

La₁₁Mg₉, CeMg₉, (La, Mg₇₇, Ce₂Mg₇₇),
Nd₁₁Mg₁₂, Gd₁₁Mg₃, Nd₁₁Mg_x, Er₁₁Mg₂, Er₁₁Mg₁₀,
Nd₁₁Al₂, Er₁₁Al₂, Y₁₁Al₂, Pr₁₁Al₄, Nd₁₁Al₄,
Y₁₁Al₄, Er₁₁Al₃, Ce₂Fe₁₇, Ce₂Co₁₇, Nd₂Fe₁₇,
Gd₂Fe₁₇, Gd₂Co₁₇, CeT₄Al₈ (Гиперсподициты),
Ce₂₀Rb₃₅Si₄₅. (Красн. спир-па)

Телавинская З. Н. Кричевский Н. Н.,
Леркенцева Е. Е., Гарееваток О. С., Залесов-
ский Е. Н., Звездочечко В. И.,
В. С. "Редкозем. гиперсподииты", №,
Н.И. СССР, 1963, 67. РМ, 1964, 8420' №

R Al₃ / R = Eu, La, Ce, Pr, Nd, Sm); 1964
R Hf₃ (R = Sm, Eu, Tb, Y, Dy, Ho, Er, Y)
(specie. cusp-pa)

Ducht J.H. van, Ruschow K.H.Y.,
"Philips. Res Repts" 1964, 19, n 4,
319-322.

PX, 1985, 12B513. II.

Er_2Al , ErAl , Al_2Er , ErAl_3 , Y_2Al_5 . 1
1985

ch.

SPR.

VIII 4185

Buschow K.H.J., Vucht J.H.N. van
Z. Metallkunde, 1965, 56, N1, 9-13

Das System Erbium-Aluminium
und ein Vergleich mit dem System
Yttrium-Aluminium

1965

N 155479

EOTB 11.1965

b, An, T98 Ø

$M''H_2$ / $M'' = La, Ce, Pr, Nd, \dots, La, Dy, Ho, Er$ / VIII 4200

$M''_3 H_2$ / $M'' = Gd, Tb, Dy, Ho, Er, Y$ / 1965
(крист. синт-р)

Bischoff K. H. J.,

J. Less-Common Metals,
1965, 8, n3, 209-212

Есть ф. н.

РХ, 1965, 215 425

YAl_3 (Kpučev. соп.-pa) 1966

\sqrt{m} 4409

Dagerhamn T., Westman S.

Aeta crystallogr., 1966, 20,

Nо, 919 - 920

"Note on the nine-layered hexagonal structure of YAl_3 ".

БСТВ Ф. Н. А.

РХ, 1967, 14 15-403

Y₂O₃, Eu₂O₃, Y₂O₃, Yb₂O₃, Y₂O₃, La₂O₃, 1966
Pr₂O₃, Tm₂O₃, Yb₂O₃, Tm₂O₃, Tm₂O₃, Pr₂O₃, Yb₂O₃²,
Tb₂O₃, Yb₂O₃, Y₂O₃, Y₂O₃, Tb₂O₃, Tm₂O₃, Tm₂O₃,
Yb₂O₃, Eu₂O₃, Tb₂O₃, Tm₂O₃, La₂O₃, Pr₂O₃,
Nd₂O₃, Sm₂O₃, Tb₂O₃, Tm₂O₃, Yb₂O₃, Yb₂O₃, La₂O₃,
Ce₂O₃, Ce₂O₃, Pr₂O₃, Nd₂O₃, Yb₂O₃.
(кручин. europ-72)

Moriarty J. L., Humphreys J. E.,
Gordon R. O., Baenkigen H.,
acta crystallogr., 1966, 21, n⁵, 840

P.M., 1967, 3222 3 111

МАЛХ / М-рекогниторный №5
(КР. Суп-ре, Ти, Δ Hf) 1966

VIII 4157

Назарин В.А.,

Новосибирск. институт

1966, №, 46-85

ЕСТЬ Ф. Н.

PM, 1964, 1434

Б, АЛ, МД

Ce Al_3 , La Al_3 , Pr Al_3 , Nd Al_3 , 1966
 Y Al_3 , Tb Al_3 , Ho Al_3 , Dy Al_3 .
specie. (cusp-pa)

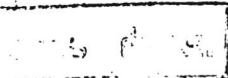
Viecht J. H. N. van, Prischori
K. U. T.,
J. Less-Common Metals,
1966, 10, no. 98.

PK, 1966, 15B393.

dis

УАЗ (зарегистрирован) 1400
VIII 4123

Сайынбеков Т.Т., отец Сайынбеков Т.Т.
Род. 1938, Рудаки К.Б.,
Душанбе 1966 УПЛР,
1966, №10, 1287-1290



М.Л.

РМ, 1967, 32132

89 - VIII - 75

(984)

Y Al₃

12 Б330. Структура двух полиморфных форм YAl₃.
Bailey D. M. The structures of two polymorphic forms
of YAl₃. «Acta crystallogr.», 1967, 23, № 5, 729—733
(англ.)

Проведено рентгенографич. исследование (монохроматический метод, λ Си-Ка) низко- (I) и высокотемпературной (III) полиморфных форм кристалла YAl₃. Параметры кристаллич. решетки: I a 6,276, c 4,582 Å, ф. гр. $P\bar{6}_3/mmc$; II a 6,204, c 21,184 Å, ф. гр. $R\bar{3}m$. Расшифровка структур проводилась обычными методами на основании 30 I (I) и 74 I (II) независимых рефлексов; уточнение координат атомов выполнено методом наименьших квадратов, $R = \sum(|F_0| - |F_c|)/\sum|F_0| = 0,099$ (I) и 0,087 (II). Положение атомов: I 2 Y в $\pm(2/3; 1/3; 1/4)$, 6 Al в

полиморфизм

X · 1968 · 12

$\pm (x, 2x, \frac{1}{4}; 2\bar{x}, \bar{x}, \frac{1}{4})$ с $x=0,1466 \pm 0,0002$; II 3Y в $(0, 0, 0; 2/3, 1/3, 1/3; 1/3, 2/3, 2/3)$, 6Y в $(0, 0, 0; 2/3, 1/3, 1/3; 2/3, 2/3) \pm (0, 0, z)$ с $z=0,2190 \pm 0,002$, 9Al в $(0, 0, 0; 2/3, 1/3, 1/3; 1/3, 2/3, 2/3) + (1/2, 0, 0; 0, 1/2, 0; 1,2, 1/2, 0)$ и 18Al в $(0, 0, 0; 2/3, 1/3, 1/3; 1/3, 2/3, 2/3) \pm (x, 2x, z; 2\bar{x}, \bar{x}, z; x, \bar{x}, z)$ с $x=0,4770 \pm 0,0009$ и $z=0,2223 \pm 0,0004$. I имеет гексагон. структуру типа Ni_3Sn , а II — ромбоэдрич. структуру типа BaPb_3 . Причиной стабильности фаз является сохранение коротких ($2,96$ — $2,98$ Å) контактов Al—Al по сравнению с ErAl_3 с меньшим радиусом РЗЭ. Отмечается, что попытки установить условия перехода $\text{II} \leftrightarrow \text{I}$ оказались безуспешными.

Ю. Караван

$R_3 H_2 H_2$, $H_3 H_2$, $H_2 H_2$, $H_1 H_3$, 1907
 $R_3 H_2$ ($R H_4$). (L-Za, Ce, Pe, Nd, Sm, Gd,
(specieis. Cusp-faj) (T.B.P. VIII 4416
Boschardt H.G., Vucht J.H.D.
van,
"Philipp Res. Repts.,
1957, 22, no 3, 233.-245
P.M. 1957, 112112 S.T.B. Q. E.

БР-VIII-53

1967

Y-Al_x

13 Б435. Рентгенографическое исследование системы иттрий-алюминий. D a g e r h a m n T o g e. X-ray studies on the yttrium — aluminium system. «Arkiv kemi», 1967, 27, № 4—5, 363—380 (англ.)

Рентгенографически (методы порошка и Вейссенберга) исследована система Y—Al. Установлены следующие промежуточные фазы: 1) Y_3Al — кубич., a 4,818 Å, ρ (эксп.) 4,32, ρ (выч.) 4,36, $Z=1$, структурный тип Cu_3Au ; 2) Y_2Al — ромбич., a 6,642, b 5,084, c 9,469, Å, ρ (эксп.) 4,15, ρ (выч.) 4,27, $Z=4$, ф. гр. $Pnma$, структурный тип $PbCl_2$ (для лантаноидов встречен впервые) изоморфна с Ca_2Si , Ca_2Ge и др.; 3) Y_3Al — тетрагон., a 8,239, c 7,648 Å, ρ (эксп.) 4,06, $Z=4$, ф. гр. $P4_2/mnm$, изоморфна с Zr_3Al_2 и Hf_3Al_2 , структура тесно примыкает к типу U_3Si_2 . 4) YAl — ромбич., a 3,884, b 11,522, c 4,385 Å, ρ (эксп.) 3,98, ρ (выч.) 3,92, $Z=4$, ф. гр. $Stcm$, структур-

2. 1968. 13

ный тип CrB, изоморфна с HfAl и ThAl, 5) YAl — кубич. a 3,754 Å, структурный тип CsCl, 6) YAl₂ — кубич. a 7,860 Å, ρ (эксп.) 3,94, ρ (выч.) 3,91, $Z=8$ структура типа фазы Лавеса MgCu₂; 7) YAl₃ — диморфен; кубич. фаза относится к структурному типу AuCu₃, a 4,323 Å. Для большинства перечисленных фаз методом проб по порошковым данным уточнены позиционные параметры атомов. Последняя фаза — гексагон. YAl₃ исследована монокристальным способом. Параметры решетки a 6,195, c 21,129 Å, ρ (эксп.) 3,67, ρ (выч.) 3,62, $Z=9$, ф. гр. $\bar{R}\bar{3}m$. Положение атомов, найденое методом проб и из синтезов электронной плотности, уточнено до $R(hkl)=0,114$ методом наименьших квадратов. Структура при-мыкает к типу Mg₃Cd, но содержит два сорта плотно упакованных слоев (кубич. и гексагон.) в последовательности ABABCBCAC ... Слои с гексагон. упаковкой за-метноискажены. Все катомы имеют коорд. ч. 12, однако контакты Y—Y отсутствуют. В координационную сферу атомов Al входят 4Y и 8Al. Межатомные расстояния Y—Al 3,02—3,11, Al—Al 2,70—3,50 Å. Н. Г. Шумяцкая

E₃ Al₂, Y₂Fe₅ (Tm)

VIII 164

1968

Pleyer St.

C. Tess - Common Metals, 1968, 15, Nr. 235-236 (cuv)

Mischkristallreihe E₃Al₂-Y₂Fe₅

← Ph. H.

Pflichten, 1969

25751

F(92)

IV 4993

8

Ho_2Al , Pr_2Al , Nd_2Al , Sm_2Al , Gd_2Al , Tb_2Al , Dy_2Al , Er_2Al , Y_2Al

Кристалл-фа

Buschow K. H. J., Goot A. S. van der.

J. Less. Common Metals; 1971, 24, n 1,
114-120(акн).

Кристаллическая структура
составленной РЗМ с ассоциирован титаном Al.

○ Atm 8

Р.М, 1971, 9 2143

CuAl₂, YAl₃ - DC . VII 5920

1972

Дружинин Г. Е., Кацаевер Э. С., Нижник Денис Михаил
В сб. "Материалы ведущих автор. науч. и спра-
вочников". М., "Химия", 1972, 37-41

Несортированное гранулоидное соединение
Al-Cu-Y в одноступенчатом способе, бордюрных
алюминиевах.

P.M. 1973, 4417. . An.

YAl₂

13 Б572. Низкотемпературная теплоемкость некоторых соединений алюминия с редкими землями типа фаз Лавеса. YAl_2 , $LaAl_2$, $LuAl_2$. Hungsberg R. E., Gschneidner K. A., Jr. Low temperature heat capacity of some rare earth aluminum Laves phase compounds: YAl_2 , $LaAl_2$ and $LuAl_2$. «J. Phys. and Chem. Solids», 1972, 33, № 2, 401—407 (англ.)

Соединения на основе РЗЭ и Al состава AB_2 (фазы Лавеса) — YAl_2 , $LaAl_2$ и $LuAl_2$ получены из компонентов дуговым сплавлением в атмосфере аргона. Металлографич. и рентгенографич. анализ показывает, что YAl_2 и $LaAl_2$ — однородны и однофазны, а в образцах $LuAl_2$ обнаружено небольшое кол-во др. фазы. Уд. теплоемкость указанных соединений в интервале 2,5—20° К измен.

+2



Б.Р

X.1979. B

рялась в адиабатич. калориметре. Для LaAl_2 при $3,29^\circ\text{K}$ наблюдался переход в сверхпроводящее состояние. Из эксперим. зависимости $C/T = \gamma + \beta T^2$ от T^2 получены значения: $\gamma = 1,81$ мдж/г-ат·град 2 и $\Theta = 473^\circ\text{K}$ (т-ра Дебая) для YAl_2 ; $\gamma = 3,65$ мдж/г-ат·град 2 и $\Theta = 352^\circ\text{K}$ для LaAl_2 ; $\gamma = 1,9$ мдж/г-ат·град 2 и $\Theta = 384^\circ\text{K}$ для LuAl_2 . Отмечено, что судя по величине т-р Дебая, характер низкот-рной динамики решетки определяется атомами Al. Т-ра Дебая в LaAl_2 аномально низка по сравнению с YAl_2 и LuAl_2 , а константа γ — высока. Высокое значение γ авторы связывают с наличием сверхпроводимости в LaAl_2 (в двух др. фазах Лавеса сверхпроводимость не наблюдается). Показано, что LaAl_2 ведет себя как БКШ-сверхпроводник.

В. Е. Мандрусов

VAl
2
LaAl₂
YAl₂
Cp.
D.D.

BGP - 5406 - VIII

1972

77421q Low-temperature heat capacity of some rare-earth aluminum Laves phase compounds YAl_2 , LaAl_2 , and LuAl_2 . Hungsberg, R. E.; Gschneidner, K. A., Jr. (Inst. At. Res., Iowa State Univ., Ames, Iowa). *J. Phys. Chem. Solids* 1972, 33(2), 401-7 (Eng). The heat capacity of 3 rare-earth Laves-phase compds. YAl_2 , LaAl_2 , and LuAl_2 were measured at 2.5°-20°K. A superconducting transition was obsd. in LaAl_2 at 3.29°K. The C/T vs. T^2 data yielded: $\gamma = 1.81 \text{ mJ/g atom-}^\circ\text{K}^2$ and $\theta = 473^\circ\text{K}$ for YAl_2 , $\gamma = 3.65 \text{ mJ/g atom-}^\circ\text{K}^2$ and $\theta = 352^\circ\text{K}$ for LaAl_2 , and $\gamma = 1.9 \text{ mJ/g atom-}^\circ\text{K}^2$ and $\theta = 384^\circ\text{K}$ for LuAl_2 . The Debye temps. indicate that the low-temp. lattice dynamics are controlled by the B element (Al). The

Debye temp. of LaAl_2 is anomalously low compared to those of YAl_2 and LuAl_2 , and the electronic sp. const., γ , of LaAl_2 is anomalously high compared to YAl_2 and LuAl_2 . The high γ -value is thought to account for supercond. in LaAl_2 and the absence of supercond. in the other 2 Laves phases. LaAl_2 behaves as a B.C.S. (Bardeen Cooper Schrieffer) superconductor.

+2



C.A. 1972 - 76.14

Al-Y-Bi распад XVIII-615 1974
(термодин. сб-ба)

температура C.E. ферм-р
B.A., Вицакова Л.Д., Себедренко-
ков В.В.

физ. земл. и ее геог. металлоид.
процессов, 1974, (2), 60-2.
Термодинамические свойства
распадов Al - Y - Bi.
р. а. 1975. 83 № 24. 197050.1 АЛ РР

FdAl_2 , CaAl_2 , LaAl_2 ,
 YAl_2 (R) $\text{IX}-5738$ 1974

Schultz R.J. Jr., Smith J.F.,
J. Appl. Phys., 1974, 45 (11),
4681-5.

Elastic constants of some
metal-aluminim single crystals.
C.A. 1975.82 N4 24634d Ar ¹⁰

Mg_{X} (Синявъев А.Л.-У). XVIII-790 1975

Кириллов Н.Ф., Кодер В.И.,
Лебедев В.И., Нурков В.Ф., Раепольян
С.П.,

ЖР. физ. химии, 1975, 49(11),
2933-5

Периодическая система свойства
Синявьев...

Б.Ан (9)

С.д. 1976. 84 № 12. 80574х

ЗР - XVIII - 698

1975

YAl₃

YX₃

X=In, Tl, Si, Ge

Sn, Pb

(ΔH_f)

8 Б632. Термодинамические свойства Y, Th и U-содинений MX₃ с элементами IIIA и IVA [групп]. Palenzona A., Cirafici S. Thermodynamic properties of Y, Th and U, MX₃ compounds with IIIA and IVA elements. «Thermochim. acta», 1975, 13, № 3, 357—360 (англ.)

Методом динамич. дифференциальной калориметрии определены теплоты образования (ΔH_f) соединений MX₃, где M=Y, Th, U, а X=Al, In, Tl, Si, Ge, Sn, Pb.. Значения ΔH_f находятся в линейной зависимости от отношений ионных радиусов $r(M)/r(X)$, где $r(M)$ — радиусы четырехвал. ионов U и Th и трехвал. иона Y. Для соединений UX₃, $\Delta H_f = -3,56 \frac{r(U)}{r(X)} + 0,03 (\pm 0,42)$, а для ThX₃ $\Delta H_f = -9,94 \frac{r(Th)}{r(X)} + 4,40 (\pm 0,55)$ ккал/г. ат. Относительно низкие значения ΔH_f UX₃ обусловлены более сильным вкладом связей X—X по сравнению с M—X в соединениях UX₃. В. Нешпор

X 1976 №8.

+3

☒

YAl

1976

20 Б789. Энталпии образования расплавов иттрия с алюминием. Гельд П. В., Есин Ю. О., Петрушевский М. С., Рысс Г. М., Строганов А. И. «Докл. АН СССР», 1976, 228, № 2, 386—388

(ΔH)

Калориметрически измерены парц. и интегральные энталпии образования жидк. сплавов иттрия с алюминием при 1870°К. Найдено, что первые парц. энталпии р-рения иттрия в алюминии и алюминия в иттрии соотв. равны —160,2 и —120 кдж/г-атом, а миним. значение интегральной энталпии образования равно —50,5 кдж/г-атом и приходится на 55 ат.% алюминия. Максим. значение параметра ближнего порядка равно 0,72 при $x_{Al}=0,52$. Энергии межатомного взаимодействия в значит. степени изменяются с составом р-ра. Показано, что Y, Al-расплавы характеризуются большими отриц. отклонениями от закона Рауля и принадлежат к системам с сильным взаимодействием компонентов. Автореферат

X, 1976, № 20.

Y (all sol b Al)
Al (all sol & Y)

1976

85: 128953k Enthalpies of formation of yttrium and aluminum melts. Gel'd, P. V.; Esin, Yu. O.; Petrushevskii, M. S.; Ryss, G. M.; Stroganov, A. I. (Ural. Politekh. Inst. im. Kirova, Sverdlovsk, USSR). *Dokl. Akad. Nauk SSSR* 1976, 228(2), 386-8 [Phys. Chem.] (Russ). The partial molar enthalpies of soln. of Y in Al and Al in Y were -160.2 and -120 kJ/mole, resp. The min. enthalpy of formation was -50.5 kJ/mole at 55 at.% Al. The melts had significant microheterogeneities and complicated concn. dependence of the at. interaction energy. The greatest Y-Al bonding forces occurred at 40-70 at.% Al. J. Pietkiewicz

C.A. 1976 85 n 18

AlYx (еневаб) (AH) XVIII-1048 ¹⁹⁷⁶

Русс Т. Н., Есүн И. О., Симпо-
зий А. Н., Төрөг Т. В.

Ил. прил. зоология, 1976, 50 (4),
985-6.

Экспонаты образованы
искусственных способов импресии с
животных тканей.

Ан 

C.A. 1976.85 n12. 838589.

1979

YAl_3

YAl_x

92: 48167m Phase composition and thermodynamic properties of yttrium-aluminum system compounds. Kober, V. I.; Nichkov, I. F.; Raspopin, S. P.; Nauman, V. N. (Ural. Politekh. Inst., Sverdlovsk, USSR). *Izv. Vyssh. Uchebn. Zaved., Tsvetn. Metall.* 1979, (5), 40-3 (Russ). The heat, free energies, and entropies of formation of intermetallic phases (YAl_3 , YAl_2 , YAl , Y_3Al_2 , Y_2Al) in the Y-Al system were detd. The least stable is Y_2Al .

ΔH_f° ; ΔG_f° ; ΔS_f°

C. A. 1980. 92, N6

YAl_x

1982

Збагаже Г.Н., Неструев
А.А., Казенас Е.К.

9 Всес. конгр. по кристаллографии и структур. методам геологии;
Тбилиси, 14-16 сентябрь, 1982.

Рассмотрены мез. горы. Тбилиси
1982, 356-358.

(авт. Sc Al_x; ?)

Al-Y

On 31489

1989

110: 161102q A thermodynamic optimization of the aluminum-
yttrium system. Ran, Qingsheng; Lukas, Hans Leo; Effenberg,
Guentér; Petzow, Guenter (Inst. Werkstoffwiss., Max-Planck Inst.
Metallforsch., D-7000 Stuttgart, 80 Fed. Rep. Ger.). *J. Less-Common
Met.* 1989, 146, 213-22 (Eng). The thermochem. anal. of the
binary system Al-Y is described. The description of the system is
optimized by using exptl. values of phase diagram and thermodn.
expts. For the liq. phase, Redlich-Kister polynomials are used. The
compds. Al_3Y , Al_2Y , AlY , Al_2Y_3 and AlY_2 are treated as stoichiometric
phases. Values estd. with the Miedema model for enthalpies of
formation of these compds. are used to eliminate a contradiction
among different measured values.

Phase com ab

Al_3Y , Al_2Y ,

AlY , Al_2Y_3 , AlY_2

C.A. 1989, 110, n18

Y AL

1993

118: 176976s Standard enthalpies of formation of 4d aluminides by direct synthesis calorimetry. Meschel, S. V.; Kleppa, O. J. (James Franck Inst., Univ. Chicago 5640 S. Ellis Ave., Chicago, IL 60637 USA). *J. Alloys Compd.* 1993, 191(1), 111-16 (Eng). The std. enthalpies of formation of aluminides in the binary systems Y-AL, Zr-AL, Nb-AL, Mo-AL and Pd-AL were detd. by direct synthesis calorimetry at 1473 ± 2 K. The results are compared with earlier exptl. data and with predicted values from Miedema's semi-empirical model. The enthalpies of formation of the 4d-aluminides are compared with the enthalpy data for the corresponding borides, germanides and silicides.

($\Delta_f H$)

④ $ZrAl, NbAl, MoAl, PdAl$

C.A. 1993, 118, N 18

Y-Al-C

1995

122: 296438x Thermodynamic calculations in the Y-Al-C system.
Groebner, J.; Lukas, H.-L.; Aldinger, F. (Max-Planck-Institut fuer
Metallforschung, PML, Heisenbergstrasse 5, D-70569 Stuttgart,
Germany). *J. Alloys Compd.* 1995, 220(1-2), 8-14 (Eng).
The thermodn. functions of state of the Y-Al-C system were
assessed by a computerized least squares method using all exptl. data
available in the literature, as well as some of our own expts. First
the published literature is summarized. Then the exptl. investigations,
the modeling of the phases and the optimizing procedure are
described. The binary Y-Al, Al-C and Y-C, as well as the ternary
Y-Al-C phase diagram is shown.

metastable
cb - fa

C.A. 1995, 122, N24

γAl_3

Tinopeev V.S., Turcha
in A.A. et al.,
⁽¹⁹⁹⁶⁾

$\gamma_3 Al_2$

Enthalpies of formation
of intermetallic compo-
unds in the yttrium -
aluminum and yttrium -
(Al) aluminum - nickel systems.

11th IUPAC



Conference on

Chemical Thermodynamics,
Abstracts. Osaka, 1996,
p. 237.

1997

Al_3Y , Al_2Y ,

Al_2Y_3 ,

Al_4YNi

($\Delta_f H$)

127: 299425e Enthalpies of formation for the Al-Y and Al-Y-Ni intermetallic compounds. Timofeev, V. S.; Turchanin, A. A.; Zubkov, A. A.; Tomilin, I. A. (Moscow State Institute of Steel and Alloys, Leninsky Pr., 4, Moscow, Russia 117936). *Thermochim. Acta* 1997, 299(1-2), 37-41 (Eng), Elsevier. A method of liq.-metal soln. calorimetry has been applied for thermochem. research of intermetallic compds. in the Al-Y and Al-Y-Ni systems. Heats of dissoln. for the following intermetallics: Al_3Y ; Al_2Y ; Al_2Y_3 and Al_4YNi in liq. Al were measured with the help of a high-temp. isoperibol Calvet-type calorimeter. Using these values, std. molar enthalpies of formation for the listed compds. were calcd.: $\Delta_{f,298}\text{H}^\circ_m(\text{Al}_3\text{Y}) = -185.6 \pm 7.2 \text{ kJ mol}^{-1}$; $\Delta_{f,298}\text{H}^\circ_m(\text{Al}_2\text{Y}) = -160.4 \pm 7.5 \text{ kJ mol}^{-1}$; $\Delta_{f,298}\text{H}^\circ_m(\text{Al}_2\text{Y}_3) = -234.4 \pm 19.5 \text{ kJ mol}^{-1}$; $\Delta_{f,298}\text{H}^\circ_m(\text{Al}_4\text{YNi}) = -361.5 \pm 12.0 \text{ kJ mol}^{-1}$. Comparisons have been made with some available exptl. data and theor. values calcd. from the Miedema model with the help of parameters recommended in different papers.

C. A. 1997, 127, n21.

Liu et al. [Om 38618]

1996

Ni-Y Zhengxin Gu, Weijing
Zhang,

Mater. Res. J. Alloys and Compounds
1996, 245, 184-187

YAl₂

Om. 39362

1998

Lindbaum A., Hafner J.,
et al.,

(T_{cr}, ΔH_f) J. Phys.: Condens. Matter.
1998, 10, 2933-15.